

## ТЕРМОУПРУГИЙ ИЗГИБ ТРЕХСЛОЙНОЙ МЕТАЛЛОПОЛИМЕРНОЙ ПЛАСТИНЫ ПАРАБОЛИЧЕСКОЙ НАГРУЗКОЙ

<sup>1</sup>Плескачевский Ю.М., <sup>2</sup>Журавков М.А., <sup>3</sup>Старовойтов Э.И.

<sup>1</sup>Белорусский национальный технический университет

<sup>2</sup>Белорусский государственный университет

<sup>3</sup>Белорусский государственный университет транспорта

**Введение.** В последнее время значительно возросло использование слоистых тонкостенных элементов конструкций в машиностроении, добыче и транспортировке энергоносителей, строительстве. Это обуславливает необходимость разработки математических моделей и методов их расчета на различные виды и типы нагрузок.

Монографии [1–5] содержат различные математические модели статического и динамического деформирования многослойных и трехслойных элементов конструкций, включая стержни, пластины и оболочки. В них изложены методы решения соответствующих краевых задач. Изотермическое динамическое деформирование трехслойных круговых пластин при импульсных и резонансных непрерывных и локальных нагрузках рассмотрено в статьях [6–9]. Постановки и методики решения краевых задач об изотермическом квазистатическом деформировании, в том числе циклическом, упругопластических слоистых стержней и пластин приведены в [10–13]. Термосиловое нагружение трехслойных пластин и оболочек исследовалось в работах [14–18]. Термоупругие перемещения в трехслойной круговой металлополимерной пластине при кольцевых нагрузках изучены в статье [19].

Здесь построено аналитическое решение краевой задачи об определении перемещений в упругой трехслойной круговой металлополимерной пластине при параболических по форме нагрузках, с учетом воздействия температурного поля. Численная апробация решения проведена в случае металлополимерного пакета пластины.

**1. Общее решение краевой задачи.** Рассматривается несимметричная по толщине трехслойная круговая пластина (рис.1). К наружной поверхности первого несущего слоя приложены осесимметричные распределенные нагрузки  $q(r)$ ,  $p(r)$ , и пластина находится в температурном поле  $T = \text{const}$ . Постановка задачи и ее решение проводятся в цилиндрической системе координат. Срединная плоскость заполнителя принимается за координатную, ось  $z$  перпендикулярна ей и направлена вверх. Для тонких внешних несущих слоев толщиной  $h_1 \neq h_2$  принимаются гипотезы Кирхгофа, для толстого жесткого заполнителя ( $h_3 = 2c$ ), воспринимающего нагрузку в тангенциальном направлении, справедлива гипотеза о прямолинейности и несжимаемости деформированной нормали.

В силу симметрии нагрузки тангенциальные перемещения в слоях отсутствуют:  $u_\varphi^{(k)} = 0$  ( $k$  – номер слоя), а прогиб пластины  $w$ , относительный сдвиг в заполнителе  $\psi$  и радиальное перемещение координатной поверхности  $u$  не зависят от координаты  $\varphi$ . В дальнейшем эти функции считаем искомыми. На контуре пластины предполагается наличие жесткой диафрагмы, препятствующей относительному сдвигу слоев ( $\psi = 0$  при  $r = 1$ ). Все перемещения и линейные размеры пластины отнесены к ее радиусу  $r_0$ .

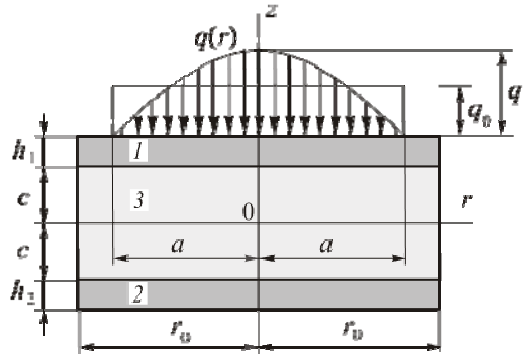


Рис. 1 Схема нагружения

Из гипотезы прямолинейности нормали заполнителя следует, что

$$2\varepsilon_{rz}^{(3)} = u_r^{(3)}{}_{,z} + w_{,r} = \psi.$$

После интегрирования этого выражения с учетом принятых гипотез получим формулы, выражающие радиальные перемещения в слоях  $u_r^{(k)}$  через искомые функции:

$$\begin{aligned} u_r^{(1)} &= u + c\psi - zw_{,r} \quad c \leq z \leq c + h_1, \\ u_r^{(3)} &= u + z\psi - zw_{,r} \quad -c \leq z \leq c, \\ u_r^{(2)} &= u - c\psi - zw_{,r} \quad -c - h_2 \leq z \leq -c, \end{aligned} \quad (1)$$

где  $z$  – координата рассматриваемого волокна, запятая в нижнем индексе обозначает операцию дифференцирования по следующей за ней координате.

Деформации в слоях следуют из (1) и соотношений Коши, напряжения – из термоупругих соотношений закона Гука:

$$\begin{aligned} s_{\alpha}^{(k)} &= 2G_k(T_k)\varepsilon_{\alpha}^{(k)}, \quad \sigma^{(k)} = 3K_k(T_k)(\varepsilon^{(k)} - \alpha_{0k}T_k) \quad (k=1,2,3), \\ s_{rz}^{(3)} &= 2G_k(T_k)\varepsilon_{rz}^{(3)} \quad (\alpha = r, \varphi), \end{aligned}$$

где  $s_{\alpha}^{(k)}, \varepsilon_{\alpha}^{(k)}$  – девиаторные,  $\sigma^{(k)}, \varepsilon^{(k)}$  – шаровые части тензоров напряжений и деформаций;  $G_k(T), K_k(T)$  – модули сдвига и объемного деформирования, зависимость которых от температуры описывается формулой Белла [1];  $\alpha_{0k}$  – коэффициент линейного температурного расширения материала  $k$ -го слоя.

Уравнения равновесия рассматриваемой пластины получены вариационным методом. Их общее решение приведено в [19]:

$$\begin{aligned} \psi &= C_2 I_1(\beta r) + C_3 K_1(\beta r) + \psi_r, \\ w &= \frac{b_2}{b_3} \int \psi dr - \frac{a_3}{b_3 a_1} \int L_2^{-1}(p) dr + \frac{1}{b_3} \int L_3^{-1}(q) dr + \frac{1}{4} C_1 r^2 (\ln r - 1) + \frac{C_5 r^2}{4b_3} + C_6 \ln r + C_4, \\ u &= \frac{a_3}{a_1} w_{,r} - \frac{a_2}{a_1} \psi - \frac{1}{a_1} L_2^{-1}(p) + \frac{C_7 r}{2} + \frac{C_8}{r}, \end{aligned} \quad (2)$$

$$\psi_r = -K_1(\beta r) \int I_1(\beta r) f(r) r dr + I_1(\beta r) \int K_1(\beta r) f(r) r dr,$$

$$f(r) = \frac{b_3}{b_1 b_3 - b_2^2} \left[ \frac{p(a_2 b_3 - a_3 b_2)}{a_1 b_3} + \frac{b_2}{b_3 r} \left( \int q r dr - C_1 \right) \right]$$

где  $I_1(\beta r)$  – модифицированная функция Бесселя первого порядка;  $K_1(\beta r)$  – функция Макдональда;  $L_2^{-1}$ ,  $L_3^{-1}$  – линейные интегральные операторы

$$L_2^{-1}(f) \equiv \frac{1}{r} \int r \int f dr dr, \quad L_3^{-1}(f) \equiv \frac{1}{r} \int r \int \frac{1}{r} \int r f dr dr dr;$$

$C_1, \dots, C_8$  – константы интегрирования, определяемые из условий ограниченности решения в центре пластины и граничных условий закрепления контура;  $a_i$ ,  $b_i$ ,  $\beta$  – коэффициенты, определяемые через геометрические и термомеханические характеристики материалов слоев [19].

В качестве граничных принимаются следующие кинематические условия:

- при заделке контура пластины

$$(u = \psi = w = w_{,r} = 0 \quad \text{при } r = 1), \quad (3)$$

- при шарнирном опирании

$$(u = \psi = w = M_r = 0 \quad \text{при } r = 1). \quad (4)$$

**2. Изгиб параболической нагрузкой, распределенной по кругу [0, a].** Пусть на рассматриваемую круговую трехслойную пластину действует локальная вертикальная поверхностная нагрузка параболической формы, распределенная по кругу относительного радиуса  $r \leq a$  (см. рисунок 1). Для нее можно принять аналитический вид

$$q(r) = q_0 H_0(a-r) \left( 1 - \left( \frac{r}{a} \right)^2 \right), \quad (5)$$

где  $q_0 = \text{const}$ ,  $H_0(r)$  – функция Хевисайда.

Интегральный оператор третьей степени от нагрузки (5), функция  $f(r)$  и интегралы от нее, входящие в решение (2), следующие:

$$\begin{aligned} L_3^{-1}(q) dr &= q_0 H_0(a-r) \left( \frac{3r^4 - a^4}{48r} - \frac{r^5}{96a^2} - \frac{a^2 r}{8} \ln \left( \frac{r}{a} \right) - \frac{a^2 r^2}{32} \right), \\ f(r) &= \frac{\gamma_1}{r} \left( \int q_0 \left( 1 - \left( \frac{r}{a} \right)^2 \right) H_0(a-r) r dr - C_1 \right) = \frac{\gamma_1}{r} \left( \frac{q_0}{4} \left( 2r^2 - a^2 - \frac{r^4}{a^2} \right) H_0(a-r) - C_1 \right), \\ \int I_1(\beta r) f(r) r dr &= \frac{\gamma_1 q_0}{4\beta^2} H_0(a-r) \left[ I_0(\beta r) \left( 2r^2 \beta - \frac{r^4 \beta}{a^2} - \frac{8r^2}{a^2 \beta} \right) + \right. \\ &+ \left. \frac{8I_0(\beta a)}{\beta} - \frac{16I_1(\beta a)}{\beta^2 a} - 4I_1(\beta r) \left( r - \frac{r^3}{a^2} - \frac{4}{a^2 \beta^2} \right) \right] - \frac{C_1 \gamma_1}{\beta} I_0(\beta r), \\ \int K_1(\beta r) f(r) r dr &= \frac{\gamma_1 q_0}{4\beta^2} H_0(a-r) \left[ -K_0(\beta r) \left( 2r^2 \beta - \frac{r^4 \beta}{a^2} - \frac{8r^2}{a^2 \beta} \right) - \right. \end{aligned}$$

$$-\frac{8K_0(\beta a)}{\beta} - \frac{16K_1(\beta a)}{\beta^2 a} - 4K_1(\beta r) \left( r - \frac{r^3}{a^2} - \frac{4}{a^2 \beta^2} \right) \left] \frac{C_1 \gamma_1}{\beta} I_0(\beta r) \right.$$

После чего частное решение  $\psi_r$  можно выписать в виде

$$\begin{aligned} \psi_r = & \frac{\gamma_1 q_0}{4\beta^4 a^2} H_0(a-r) \left[ \beta^2 r^3 + \frac{\beta^2 a^4}{r} + r(8-2\beta^2 a^2) - 8\beta a^2 (K_1(\beta r) I_0(\beta a) + \right. \\ & \left. + I_1(\beta r) K_0(\beta a)) + 16a (K_1(\beta r) I_1(\beta a) - I_1(\beta r) K_1(\beta a)) \right] + \frac{C_1 \gamma_1}{\beta^2 r} \end{aligned} \quad (6)$$

Общий вид решения (2) остается в данном случае без изменения, если учесть выражение (6) и следующие интегралы:

$$\begin{aligned} \int L_3^{-1}(q(r)) = & H_0(a-r) \left( \frac{r^4}{64} - \frac{r^6}{576a^2} + \frac{a^2 r^2}{64} - \frac{a^2 r^2}{16} \ln\left(\frac{r}{a}\right) - \frac{a^4}{48} \ln\left(\frac{r}{a}\right) - \frac{17a^4}{576} \right), \\ \int \psi \, dr = & \frac{C_2 I_0(\beta r)}{\beta} - \frac{C_3 K_0(\beta r)}{\beta} + \frac{C_1 \gamma_1}{\beta^2} \ln(r) + \frac{\gamma_1 q_0}{4\beta^4 a^2} H_0(a-r) \times \\ & \times \left[ \beta^2 a^4 \ln\left(\frac{r}{a}\right) - \frac{16a}{\beta} (K_1(\beta a) I_0(\beta r) + I_1(\beta a) K_0(\beta r)) + \frac{16}{\beta^2} + 4(r^2 - a^2) + \right. \\ & \left. + \frac{\beta^2 r^4}{4} + \frac{3\beta^2 a^4}{4} - \beta^2 a^2 r^2 - 8a^2 (K_0(\beta a) I_0(\beta r) - I_0(\beta a) K_0(\beta r)) \right]. \end{aligned}$$

Константы интегрирования определяем из условия заделки контура пластины (3) и условия гладкости решения в ее центре. В результате

$$\begin{aligned} C_1 = & \frac{q_0 a^2}{4}, \quad C_2 = \frac{2\gamma_1 q_0}{\beta^3 I_1(\beta)} \left( \frac{\beta a^2}{8} - K_1(\beta) \left( I_0(\beta a) - \frac{2}{\beta a} I_1(\beta a) \right) \right), \\ C_3 = & \frac{2q_0 \gamma_1}{\beta^3} \left( I_0(\beta a) - \frac{2}{\beta a} I_1(\beta a) \right), \\ C_4 = & -\frac{\gamma_1 b_2 q_0}{\beta^3 b_3 I_1(\beta)} \left( \frac{a^2 I_0(\beta)}{4} + \frac{2}{\beta^2} \left( I_0(\beta a) - \frac{2}{\beta a} I_1(\beta a) \right) \right) + \frac{q_0 a^4}{96b_3} + \frac{q_0 a^2}{32b_3}, \\ C_5 = & \frac{q_0 a^2}{24} (3+a^2), \quad C_6 = \frac{q_0 a^4}{48b_3}, \quad C_7 = 0, \quad C_8 = 0. \end{aligned} \quad (7)$$

При шарнирно-опертом контуре из (4) получим:

$$C_4 = \frac{b_2}{b_3} \left( -\frac{C_2 I_0(\beta)}{\beta} + \frac{C_3 K_0(\beta)}{\beta} \right) - \frac{1}{4b_3} (C_1 + C_5), \quad (8)$$

$$C_5 = \frac{q_0 a^2}{8} \left(1 - \frac{a^2}{3}\right) \frac{a_3^2 - a_1 b_3 + a_7 a_1}{a_1 (a_6 + a_7)} \frac{6b_3}{a_6 + a_7} \sum_{k=1}^3 \alpha_{0k} \int_{h_k} K_k T_k z dz,$$

$$C_7 = \frac{2a_3}{a_1 (a_6 + a_7)} \left(3 \sum_{k=1}^3 \alpha_{0k} \int_{h_k} K_k T_k z dz + \frac{q_0 a^2}{8} \left(1 - \frac{a^2}{3}\right)\right).$$

Константы  $C_1, C_2, C_3, C_6, C_8$  сохраняют вид (7).

**3. Изгиб нагрузкой, равномерно распределенной по кругу  $[0, a]$ .** Если на рассматриваемую трехслойную пластину действует локальная поверхностная нагрузка цилиндрической формы, равномерно распределенная по кругу относительного радиуса  $r \leq b$ , то ее можно записать в виде

$$q(r) = q_0 H_0(b-r), \quad p=0. \quad (9)$$

Интегральный оператор третьей степени от нагрузки (9), функция  $f(r)$  и интегралы от нее, входящие в решение (2), следующие:

$$L_3^{-1}(q(r)) = q_0 \left( \frac{r^3}{16} - \frac{b^4}{16r} - \frac{b^2 r}{4} \ln\left(\frac{r}{b}\right) \right) H_0(b-r).$$

$$f(r) = \frac{b_2}{(b_1 b_3 - b_2^2) r} \left( \int q_0 H_0(b-r) r dr - C_1 \right) = \frac{\gamma_1}{r} \left( \frac{q_0 (r^2 - b^2)}{2} H_0(b-r) - C_1 \right), \quad \gamma_1 = \frac{b_2}{(b_1 b_3 - b_2^2)}.$$

Внося функцию  $f(r)$  в интегралы, входящие в частное решение  $\psi_r$ , получим

$$\int I_1(\beta r) f(r) r dr = \frac{\gamma_1 q_0}{2\beta} (r^2 I_2(\beta r) - b^2 I_2(\beta b)) H_0(b-r) -$$

$$- \frac{\gamma_1 q_0 b^2}{2\beta} (I_0(\beta r) - I_0(\beta b)) H_0(b-r) - \frac{C_1 \gamma_1}{\beta} I_0(\beta r) =$$

$$= \frac{\gamma_1 q_0}{2\beta} H_0(b-r) \left[ (r^2 - b^2) I_0(\beta r) + \frac{2}{\beta} (b I_1(\beta b) - r I_1(\beta r)) \right] - \frac{C_1 \gamma_1}{\beta} I_0(\beta r), \quad (10)$$

$$\int K_1(\beta r) f(r) r dr = \frac{\gamma_1 q_0}{2\beta} H_0(b-r) \left[ (b^2 - r^2) K_0(\beta r) + \frac{2}{\beta} (b K_1(\beta b) - r K_1(\beta r)) \right] + \frac{C_1 \gamma_1}{\beta} K_0(\beta r).$$

В результате частное решение  $\psi_r$  принимает вид

$$\psi_r = \frac{\gamma_1 q_0}{2\beta^2} H_0(b-r) \left[ \frac{b^2}{r} - r + 2b (K_1(\beta b) I_1(\beta r) - I_1(\beta b) K_1(\beta r)) \right] + \frac{C_1 \gamma_1}{\beta^2 r} \quad (11)$$

Подставляя (10) в решение (2), с учетом (11) получим искомые перемещения в трехслойной круговой пластине при действии равномерно распределенной круговой нагрузки, где

$$\int L_3^{-1}(q)dr = q_0 \left( \frac{r^4 - 5b^4}{64} \frac{b^4}{16} \ln\left(\frac{r}{b}\right) - \frac{b^2 r^2}{8} \ln\left(\frac{r}{b}\right) + \frac{b^2 r^2}{16} \right) H_0(b-r),$$

$$\int \Psi dr = \frac{C_2 I_0(\beta r)}{\beta} - \frac{C_3 K_0(\beta r)}{\beta} + \frac{C_1 \gamma_1}{\beta^2} \ln(r) + \frac{\gamma_1 q_0}{2\beta^2} H_0(b-r) \times$$

$$\times \left[ \frac{b^2 - r^2}{2} + b^2 \ln\left(\frac{r}{b}\right) + \frac{2b}{\beta} (K_1(\beta b) I_0(\beta r) + I_1(\beta b) K_0(\beta r)) - \frac{2}{\beta^2} \right].$$

Константы интегрирования определяем из условия закрепления пластины и условия гладкости решения в ее центре. Из условия гладкости следует

$$C_1 = -\frac{q_0 b^2}{2}, \quad C_3 = \frac{q_0 \gamma_1 b I_1(\beta b)}{\beta^2}, \quad C_6 = \frac{q_0 b^4}{16 b_3}, \quad C_8 = 0.$$

В случае заделки контура пластины остальные константы интегрирования будут:

$$C_2 = \frac{\gamma_1 q_0}{\beta^2 I_1(\beta)} \left( \frac{b^2}{2} - b K_1(\beta) I_1(\beta b) \right), \quad C_4 = -\frac{b_2 \gamma_1 q_0}{b_3 \beta^4 I_1(\beta)} \left( \frac{b^2 I_0(\beta) \beta}{2} - b I_1(\beta b) \right) + \frac{q_0 b^4}{32 b_3} + \frac{q_0 b^2}{16 b_3},$$

$$C_5 = \frac{q_0 b^2}{8} (2 - b^2), \quad C_7 = 0.$$

При шарнирном опирании контура из условий (4) получим:

$$C_2 = \frac{\gamma_1 q_0}{\beta^2 I_1(\beta)} \left( \frac{b^2}{2} - b K_1(\beta) I_1(\beta b) \right), \quad C_4 = \frac{b_2}{b_3} \left( -\frac{C_2 I_0(\beta)}{\beta} + \frac{C_3 K_0(\beta)}{\beta} \right) - \frac{1}{4 b_3} (C_1 + C_5),$$

$$C_5 = \frac{q_0 b^2}{4} \left( 1 - \frac{b^2}{2} \right) \frac{a_3^2 - a_1 b_3 + a_7 a_1}{a_1 (a_6 + a_7)} - \frac{6 b_3}{a_6 + a_7} \sum_{k=1}^3 \alpha_{0k} \int_{h_k} K_k T_k z dz, \quad (12)$$

$$C_7 = \frac{2 a_3}{a_1 (a_6 + a_7)} \left( 3 \sum_{k=1}^3 \alpha_{0k} \int_{h_k} K_k T_k z dz + \frac{q_0 b^2}{4} \left( 1 - \frac{b^2}{2} \right) \right)$$

Следует отметить, что при шарнирном опирании контура пластины решения явно зависят от температуры через константы интегрирования (9), (12).

*Численные результаты* получены для упругой круговой трехслойной пластины, шарнирно опертой по контуру слою которой набраны из материалов Д16Т–фторопласт–Д16Т, соответствующие механические характеристики материалов приведены в [2]. Величина интенсивности распределенной нагрузки  $q_0 = 1$  МПа, относительные толщины слоев  $h_1 = 0,02$ ;  $h_2 = 0,06$ ;  $h_3 = 0,4$ .

На рис. 2 а, б показано изменение относительного сдвига в заполнителе и прогиба пластины вдоль ее радиуса. Кривые построены при различных значениях радиуса  $b$  пятна локальной параболической поверхностной нагрузки: 1 –  $b = 0,5$ ; 2 –  $b = 0,75$ ; без штриха –  $T = 293$  К, со штрихом –  $T = 323$  К.

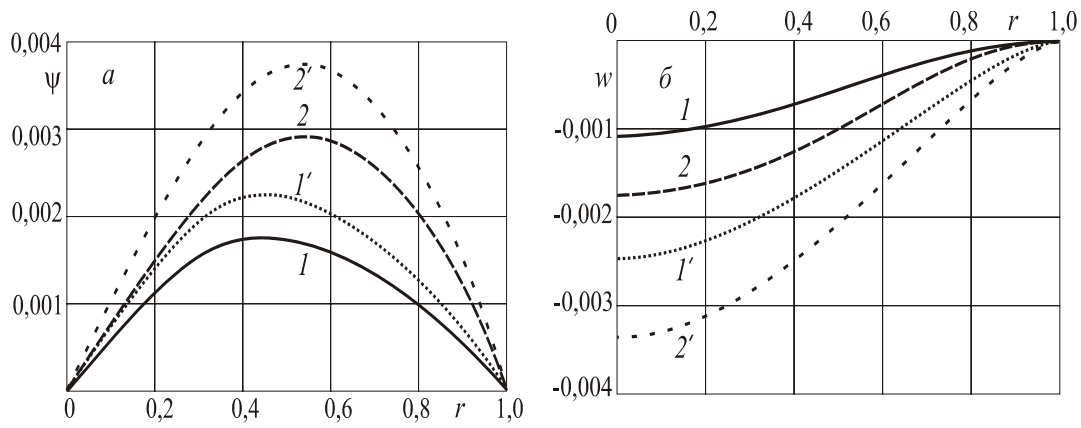


Рис. 2. Изменение относительно сдвига

На рисунке 3 показана зависимость прогиба круговой трехслойной пластины в центре от радиуса силового пятна различных по форме и величине нагрузок: 1 – параболическая амплитуды  $q_0$ ; 2 – прямоугольная  $q_0$ ; 3 – параболической амплитуды  $q_1 = 2q_0$ . Без штриха – комнатная температура, со штрихом –  $T = 323$  К. Параболическая нагрузка с амплитудой  $q_1$  статически эквивалентна прямоугольной  $q_0$ , т.к.

$$q_1 \int_A \left(1 - \left(\frac{r}{a}\right)^2\right) H_0(a-r) r \, dr \, d\varphi = q_0 \int_A H_0(a-r) r \, dr \, d\varphi,$$

отсюда  $q_1 = 2q_0$ .

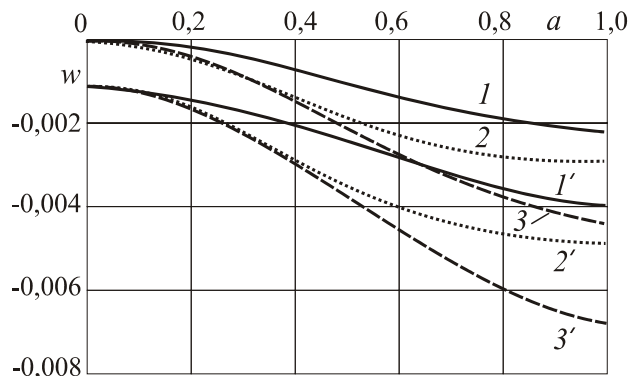


Рис. 3. Прогиб трехслойной пластины

С ростом радиуса пятна нагрузки прогиб увеличивается нелинейно, достигая максимума при нагрузке, распределенной по всей поверхности пластины. При одинаковой амплитуде (1, 2) прямоугольная нагрузка вызывает больший прогиб. В случае статически эквивалентных нагрузок (2, 3) прогиб от параболической больше на 47 %, при нагревании разница уменьшается до 40 %.

**Выводы.** Таким образом, приведенные в этой статье результаты показали, что напряженно-деформированное состояние несимметричных по толщине упругих круговых трехслойных пластин существенно зависит от воздействия температурного поля, вида и формы нагрузки, граничных условий.

Работа выполнена при финансовой поддержке БР ФФИ (проект T18P-090).

## ЛИТЕРАТУРА

1. Плескачевский, Ю. М. Деформирование металлополимерных систем / Ю. М. Плескачевский, Э. И. Старовойтов, А. В. Яровая – Минск: Бел. наука. 200, – 342 с.
2. Старовойтов, Э. И. Сопротивление материалов / Э.И. Старовойтов. – Москва: ФИЗМАТЛИТ, 2008. – 384 с.
3. Журавков, М. А. Математические модели сплошных сред. Теория упругости и пластичности / М.А. Журавков, Э. И. Старовойтов. – Минск: БГУ, 2011.– 540 с.
4. Starovoitov, E.I. Foundations of the theory of elasticity, plasticity, and viscoelasticity / E.I. Starovoitov, F.V. Nagiyev – Apple Academic Press, Toronto, New Jersey. – 2012.– 346 p.
5. Старовойтов, Э.И. Трехслойные стержни в терморadiaционных полях / Э.И. Старовойтов, М.А. Журавков, Д.В. Леоненко // – Минск: Бел. наука, 2017. –275 с.
6. Starovoitov, E.I. Circular sandwich plates under local impulsive loads / E.I. Starovoitov, D.V. Leonenko, A.V. Yarovaya // *International Applied Mechanics*. – 2003. –Vol. 39, № 8. – P. 945–952.
7. Starovoitov, E.I. Vibrations of circular sandwich plates under resonant loads / E.I. Starovoitov, D.V. Leonenko, A.V. Yarovaya // *International Applied Mechanics*. – 2003. – Vol. 39, № 12. – P. 1458–1463.
8. Starovoitov, Resonant effects of local loads on circular sandwich plates on an elastic foundation/ E.I. Starovoitov, D.V. Leonenko // *International Applied Mechanics*. – 2010. – Vol. 46, № 1. – P. 86–93.
9. Starovoitov, E.I. Resonance vibrations of a circular composite plates on an elastic foundation / E.I. Starovoitov, D.V. Leonenko, D.V. Tarlakovsky // *Mechanics of Composite Materials*. – 2015. – Vol. 51, № 5. – P. 561–570.
10. Москвитин, В.В. Деформация и переменные нагружения двухслойных металлополимерных пластин / В.В. Москвитин, Э.И. Старовойтов // *Механика композитных материалов*. – 1985. – № 3. – С. 267–273. doi.org/10.1007/BF00611609
11. Старовойтов, Э.И. Деформирование упругого трехслойного стержня локальными нагрузками / Э.И. Старовойтов, А.В. Яровая, Д.В. Леоненко // *Проблемы машиностроения и автоматизации*. – 2001. – № 4. – С. 37–40.
12. Захарчук, Ю.В. Деформирование круговой трехслойной пластины с легким сжимаемым наполнителем / Ю.В. Захарчук // *Теоретическая и прикладная механика*. – 2018. – № 33. – С. 363–369.
13. Козел, А.Г. Деформирование круговой трехслойной пластины, заземленной по контуру, на основании Пастернака / А.Г. Козел // *Теоретическая и прикладная механика*. – 2018. – № 33. – С. 318–323.
14. Старовойтов, Э.И. Деформирование трехслойной круговой цилиндрической оболочки в температурном поле / Э.И. Старовойтов, Д.В. Леоненко, Д.В. Тарлаковский // *Проблемы машиностроения и автоматизации*. – 2016. – № 1. – С. 91–97.
15. Старовойтов, Э. И. Термосиловое нагружение трехслойных пологих оболочек / Э. И. Старовойтов // *Изв. АН СССР. Механика твердого тела*. – 1989.– № 5.– С. 114–119.
16. Нестерович, А.В. Неосесимметричное термосиловое деформирование круговой трехслойной пластины / А.В. Нестерович // *Проблемы физики, математики и техники*. – 2016. – № 2 (27). – С. 54–60.
17. Плескачевский, Ю.М. Локальные нагружения трехслойной балки со сжимаемым наполнителем в температурном поле / Ю.М. Плескачевский, М.А. Журавков, Э.И. Старовойтов // *Теоретическая и прикладная механика: междунар. научно-техн. сборник*.– Мн.: БНТУ, 2018. – Вып. 33. – С. 12–17.



18. Старовойтов, Э.И. Цилиндрический изгиб ортотропной трехслойной пластины с нелинейно вязкоупругим наполнителем / Э.И. Старовойтов, И.И. Протуро, Д.В. Тарлаковский // Теоретическая и прикладная механика. Мн.: БНТУ, 2012 г. – № 27. с. 64–69.

19. Плескачевский, Ю.М. Термоупругие перемещения в трехслойной круговой металлополимерной пластине при кольцевых нагрузках / Ю.М. Плескачевский, М.А. Журавков, Э.И. Старовойтов // Теоретическая и прикладная механика: междунар. научно-техн. сборник. – Минск: БНТУ, 2019. – Вып. 34. – С. 3–9.